

II-142 標準越流頂附近の流線について

山口大学 正義信司 藤隆
西日本工大 正高橋修三
山口大学

ダム越流余水吐の流れの解析において、壁面に垂直な断面内の流線は同心円をなすものと仮定されているが、越流水頭が大きくなると水深変化は無視できないとの同様に、上述の仮定による誤差は無視できないと考えられる。本文は上述の觀点から、相似則に大きな疑問を持たれかのであるが、Hele Shawの流れを用いて標準越流余水吐の頂点附近における流線の挙動を実験的に調べたものである。

実験装置を図-1に示す。平行板間の間隔を1~3.5mmに変えて結果を比較し、大差ないことより流線の測定精度が良い1mmで実験を行なつた。ダム模型は設計水頭 $E_0 = 10\text{cm}$ のRandolph, Haroldの2種であるが、紙面の都合からRandolphの結果について述べる。本文で用いる記号などは図-2のとおりである。

Hele Shaw流れによる場合、越流水頭が同様になる。荒木、藤本²⁾が行なつた実験による越流頂水深と越流水頭の関係と比較して越流水頭と上流側水頭として資料を整理した。

$X/E_0 = -0.3 \sim 0.7$ の間の水面形を10~17枚読み取り、水面形が2次曲線でもつて近似できることとして最もよく近似により水面形状を定め、水面の曲率半径 R_s ならびに接線と水平面とのなす角 θ_w を描きしたもののが図-3, 4である。同両図には、荒木¹⁾、藤本²⁾が測定した結果を同様に処理して描きしてある。3者の結果を比較して、1階ならびに2階微分値を用いてみると考慮すれば、ほど一致していることみてよいであらう。堤体形状が同じで、水面形状がほど一致しているので、その間にある流線は幾何学的に相似であるとみても大きな誤りはないものと考えられる。

7~10本の流線を測定し、水表面と同様にして曲率半径 R_s ならびに接線角 θ_w を求め、壁面に垂直な断面における分布を描きしたもののが図-5, 6である。図中の数字は $X/E_0 = -0.1$ より 0.2 間隔ごとに断面の位置である。

図-4

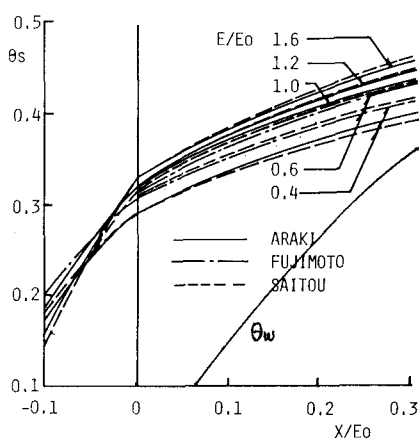


図-1

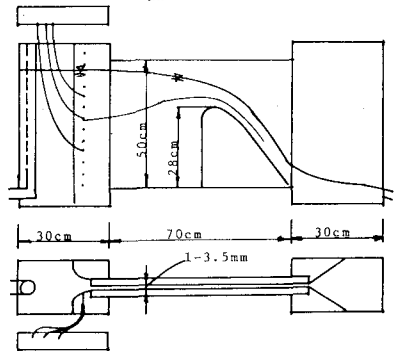


図-2

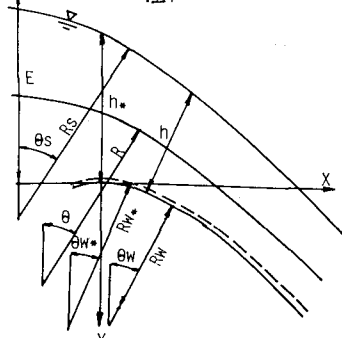
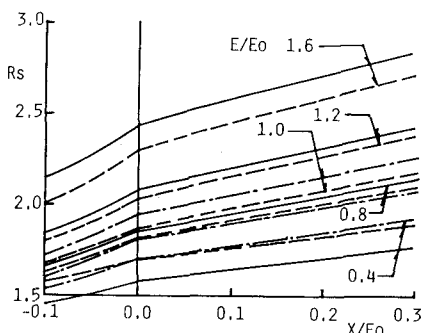


図-3



図より、流下距離によって系統的に変化してりることと、壁面のごく近傍で値が急激に変つてゐるのが目につく。

図-5, 6の各断面における分布が2次曲線に近似できるものとし、最少2乗法でしてて仮想壁面上の流線の曲率半径 R_{W*} 、接線角 θ_{W*} を求めて描いたのが図-7, 8である。同図には壁面の曲率半径 R_W ならびに接線角 θ_W も描線してある。 θ と θ_W の差は遠心力の作用方向の違いとして、 R と R_W の違いは遠心力の大きさとして、越流流れの運動方程式に反映してくるので、図-5, 6の結果を解析導入する必要がある。

解析にこれらを導入し易いようく、水表面と仮想壁面流線の値をもつて、 R および θ の分布を規格化してみたのが図-9, 10である。両図とも $X/E_0 = -0.1 \sim 0.3$ の間の断面の分布である。図-9より、 R の分布は越流頂より上流側も規格化されており、図-10の θ の分布では、越流頂より上流側は、下流側とは別の分布をしてしまふとみられる。

参考文献

- 1) 村・荒木
工研報告書
No.93(1955)
- 2) 石井・藤本
土木研究所報告
No.127(1965)

図-5

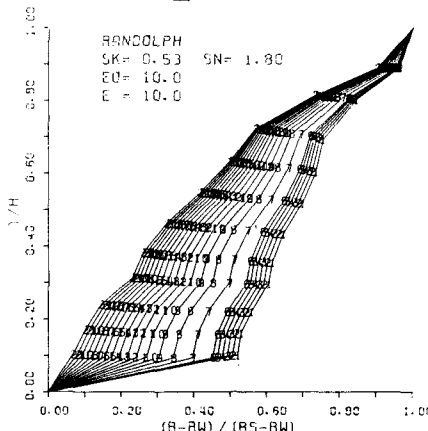


図-6

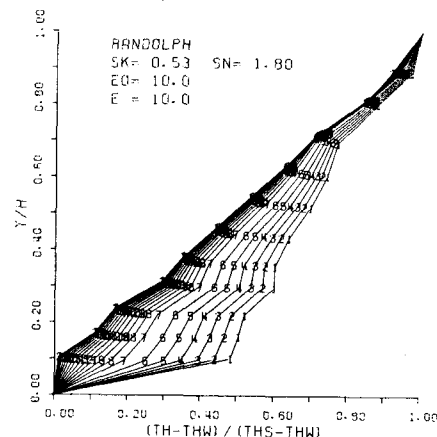


図-7

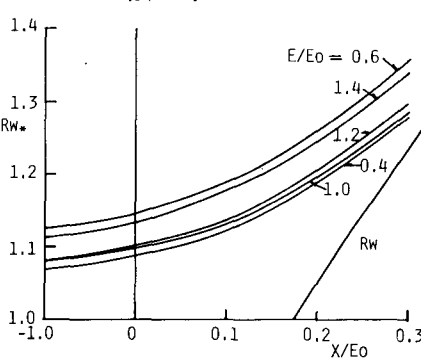


図-8

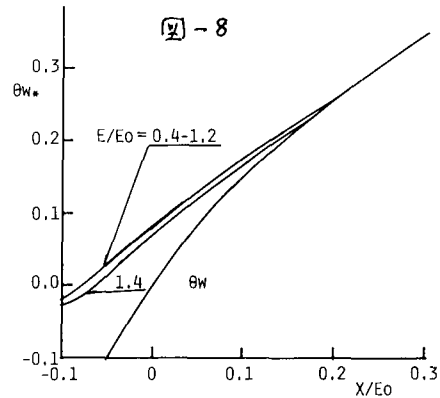


図-9

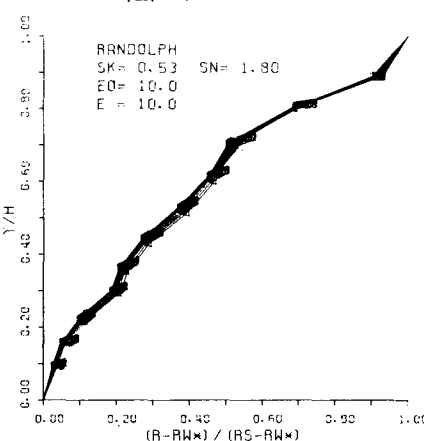


図-10

